

# Simulation numérique avec Julia

Mickael Bestard, Emmanuel Franck

Université de Strasbourg  
IRMA

23 Juin 2021



- Julia : un langage **haut niveau** créé pour la **performance**
- Récent (2012) mais déjà largement utilisé dans le monde industriel
  - ▶ Calcul de risques (Aviva, assurance, UK)
  - ▶ Modèles économiques (Federal reserve Bank of New York) → *"about 10 times faster than its previous MATLAB implementation"*
  - ▶ Sélectionné par la Climate Modeling Alliance pour créer un modèle climatique à l'échelle de la Terre
  - ▶ Utilisé par la NASA et l'INPE (Brésil) pour planifier des missions spatiales
- utilisé à l'IRMA depuis quelques années : retour d'expérience

# Contents

- 1 Introduction
- 2 Julia et la simulation numérique
  - Préliminaire sur les types
  - Code générique d'une méthode aux volumes finis
  - Comparaison Julia / Python
- 3 Simulation et contrôle d'un modèle fluide de trafic routier
  - Modèle
  - Discrétisation
  - Problème de contrôle
- 4 Conclusion

# Julia et la simulation numérique

## Préliminaire sur les types

Il y a 2 grandes familles de types en Julia :

### Les types abstraits

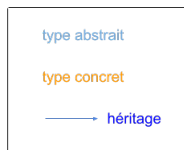
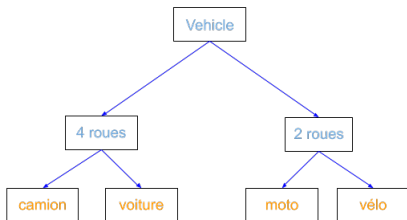
- servent à organiser le code via l'héritage
- on ne peut pas créer d'objet à partir d'eux

### Les types concrets

- aucun type ne peut en hériter
- but principal : créer des objets

Syntaxe :

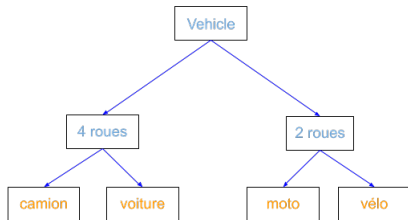
- (1) `abstract type TypeAbstrait end`
- (2) `struct TypeConcret <: TypeAbstrait`
- (3) `end`



# Julia et la simulation numérique

## Préliminaire sur les types

```
abstract type Vehicle end
abstract type 4roues <:Vehicle end
abstract type 2roues <:Vehicle end
struct camion <:4roues end
struct voiture <:4roues end
struct moto <:2roues end
struct velo <:2roues end
```



On peut également appeler un objet comme si c'était une fonction :

```
function(objet::Type)(x,y)
    # code utilisant x, y ainsi que les attributs de l'objet
end
```

**Exemple simplifié :**

```
Euler=Model(Mh,3)
for n=1:Nt
    Euler()
end
plot(Euler.x, Euler.solutions)
```

# Julia et la simulation numérique

Code générique d'une méthode aux volumes finis

Exemple "fil rouge" : schéma aux Volumes Finis générique. On cherche à résoudre :

## Equation de conservation

$$\begin{cases} \partial_t \rho(t, x) + \partial_x f(\rho(t, x)) = 0, & (t, x) \in [0, T] \times [a, b] \\ \rho(0, x) = \rho_0(x), & x \in [a, b] \end{cases} \quad (1)$$

- Maillage :  $a = x_{1/2} < \dots < x_{i-1/2} < x_{i+1/2} < \dots < x_{N_c+1/2} = b$
- Volumes :  $V_i := [x_{i-\frac{1}{2}}, x_{i+\frac{1}{2}}]$

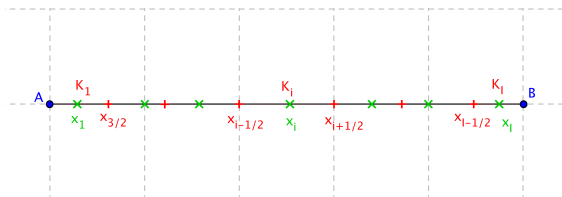


Figure: Grille Volumes Finis 1D

- Inconnue numérique **constante** par maille:  $\rho_i^n := \rho_i(t_n) \approx \frac{1}{\Delta x_i} \int_{V_i} \rho(t_n, x) dx$

## Julia et la simulation numérique

Code générique d'une méthode aux volumes finis

On moyenne l'équation (1) sur un volume  $V_i$  :

$$\frac{1}{\Delta x_i} \int_{V_i} \partial_t \rho(t, x) dx + \frac{1}{\Delta x_i} \int_{V_i} \partial_x f(\rho(t, x)) dx = 0$$

$$\frac{d}{dt} \left( \frac{1}{\Delta x_i} \int_{V_i} \rho(t, x) dx \right) + \frac{1}{\Delta x_i} \left( f(\rho(t, x_{i+\frac{1}{2}})) - f(\rho(t, x_{i-\frac{1}{2}})) \right) = 0$$

Euler explicite :  $\frac{d\rho_i}{dt}(t_n) \approx (\rho_i^{n+1} - \rho_i^n)/\Delta t$

$$\rho_i^{n+1} = \rho_i^n - \frac{\Delta t}{\Delta x_i} \left( F_{i+\frac{1}{2}}^n - F_{i-\frac{1}{2}}^n \right)$$

## Julia et la simulation numérique

Code générique d'une méthode aux volumes finis

On moyenne l'équation (1) sur un volume  $V_i$  :

$$\frac{1}{\Delta x_i} \int_{V_i} \partial_t \rho(t, x) dx + \frac{1}{\Delta x_i} \int_{V_i} \partial_x f(\rho(t, x)) dx = 0$$

$$\frac{d}{dt} \left( \frac{1}{\Delta x_i} \int_{V_i} \rho(t, x) dx \right) + \frac{1}{\Delta x_i} \left( f(\rho(t, x_{i+\frac{1}{2}})) - f(\rho(t, x_{i-\frac{1}{2}})) \right) = 0$$

Euler explicite :  $\frac{d\rho_i}{dt}(t_n) \approx (\rho_i^{n+1} - \rho_i^n)/\Delta t$

$$\rho_i^{n+1} = \rho_i^n - \frac{\Delta t}{\Delta x_i} \left( F_{i+\frac{1}{2}}^n - F_{i-\frac{1}{2}}^n \right)$$

**NB:**  $f(\rho(t_n, x_{i+\frac{1}{2}}))$  n'est pas défini (multivalué) !

On introduit le *flux numérique* :  $F_{i+\frac{1}{2}}^n = F(\rho_i^n, \rho_{i+1}^n) \simeq f(\rho(t_n, x_{i+\frac{1}{2}}))$ .

### Local Lax-Friedrichs

$$F(\rho_L, \rho_R) = \frac{f(\rho_L) + f(\rho_R)}{2} - \frac{\lambda}{2} (\rho_R - \rho_L), \text{ avec } \lambda := \max\{|f'(\rho_L)|, |f'(\rho_R)|\}$$

## Julia et la simulation numérique

Code générique d'une méthode aux volumes finis

On moyenne l'équation (1) sur un volume  $V_i$  :

$$\frac{1}{\Delta x_i} \int_{V_i} \partial_t \rho(t, x) dx + \frac{1}{\Delta x_i} \int_{V_i} \partial_x f(\rho(t, x)) dx = 0$$

$$\frac{d}{dt} \left( \frac{1}{\Delta x_i} \int_{V_i} \rho(t, x) dx \right) + \frac{1}{\Delta x_i} \left( f(\rho(t, x_{i+\frac{1}{2}})) - f(\rho(t, x_{i-\frac{1}{2}})) \right) = 0$$

Euler explicite :  $\frac{d\rho_i}{dt}(t_n) \approx (\rho_i^{n+1} - \rho_i^n) / \Delta t$

$$\rho_i^{n+1} = \rho_i^n - \frac{\Delta t}{\Delta x_i} \left( F_{i+\frac{1}{2}}^n - F_{i-\frac{1}{2}}^n \right)$$

**NB:**  $f(\rho(t_n, x_{i+\frac{1}{2}}))$  n'est pas défini (multivalué) !

On introduit le *flux numérique* :  $F_{i+\frac{1}{2}}^n = F(\rho_i^n, \rho_{i+1}^n) \simeq f(\rho(t_n, x_{i+\frac{1}{2}}))$ .

### Flux numérique et performances du code

Le flux numérique peut être quelconque et souvent délicat à vectoriser. Il est plus simple de ne faire que des boucles `for` et Julia s'avère alors bien plus performant que Python.

# Julia et la simulation numérique

## Code générique d'une méthode aux volumes finis

```
export Model, NumFlux

abstract type NumFlux end

struct NullFlux <: NumFlux
end

function (self::NullFlux)(x, vL, vR)
end

struct NullNcFlux <: NumFlux
end

function (self::NullNcFlux)(x, vL, vC, vR)
end

struct Limiting <: NumFlux
end

function (self::Limiting)(x, vC, vL, vR)
end
```

```
mutable struct Model

    ntvvar      :: Int64
    npvar      :: Int64
    mh         :: Mesh
    var        :: Array{Float64, 2}
    flux       :: Array{Float64, 2}
    var_bcl    :: Vector{Float64}
    var_bcr    :: Vector{Float64}
    ncterm     :: Int64
    numflux    :: NumFlux
    ncnumflux  :: NumFlux
    limiting   :: NumFlux
    theta      :: Float64
    eps        :: Float64
    order      :: Int64

    function Model(mh, ntvvar)

        npvar      = 3
        var        = zeros(Float64, (mh.Nc, ntvvar))
        flux       = zeros(Float64, (mh.Nc, ntvvar))
        var_bcl    = zeros(Float64, ntvvar)
        var_bcr    = zeros(Float64, ntvvar)
        ncterm     = 0
        numflux    = NullFlux()
        ncnumflux  = NullNcFlux()
        limiting   = Limiting()
        theta      = 0.0
        eps        = 0.0
        order      = 1

        new( ntvvar, npvar, mh, var, flux, var_bcl,
            var_bcr, ncterm, numflux, ncnumflux, limiting, theta, eps, order)

    end
end
```

# Julia et la simulation numérique

## Code générique d'une méthode aux volumes finis

```
function (self::Model)() # generic_vf_op() is replaced by model()

    x = self.mh.centers[1]
    Fl = self.numflux(x,self.var_bcl,self.var_bcl,self.var[1,:])
    Fr = self.numflux(x,self.var[1:],self.var_bcl,self.var[2,:])

    self.flux[1,:] = (Fr-Fl)

    for i in 2:self.mh.Nc-1
        x = self.mh.centers[i]
        Fl = self.numflux(x,self.var[i:],self.var[i-1,:])
        Fr = self.numflux(x,self.var[i+1:],self.var[i,:])
        self.flux[i,:] = (Fr-Fl)
    end

    x = self.mh.centers[end]
    Fl = self.numflux(x,self.var[end:],self.var[end-1,:])
    Fr = self.numflux(x,self.var_bcr,self.var[end,:])

    self.flux[end,:] = (Fr-Fl)
end
end
```

Figure: Intégrateur Volumes Finis générique

- Toute instance de la classe Model devient un intégrateur FV
- On n'a qu'un seul intégrateur générique à coder
- Il suffit de l'appeler depuis le modèle voulu pour changer de cas-test

**Exemple simplifié :**  
Euler=Model(Mh,3)

```
for n=1:Nt
    Euler()
end
plot(Euler.x, Euler.solutions)
```

# Julia et la simulation numérique

## Comparaison Julia / Python

- Équation d'Euler :  $\partial_t \begin{pmatrix} \rho \\ \rho u \\ E \end{pmatrix} + \partial_x \begin{pmatrix} \rho u \\ \rho u^2 + p \\ Eu + \rho u \end{pmatrix} = 0$
- Discrétisation spatiale : Volumes Finis (ordre 1)
- Discrétisation temporelle : Euler explicite (CFL = 0.5)

## Python

```
def generic_vf_op(self):  
  
    x = self.mh.centers[0]  
    Fr = self.numflux(x, self.var[:,0], self.var[:,1])  
    Fl = self.numflux(x, self.var_bcl, self.var[:,0])  
  
    self.flux[:,0] = (Fr-Fl)  
  
    for i in range(1,self.mh.Nc-1):  
        x = self.mh.centers[i]  
        Fr = self.numflux(x, self.var[:,i], self.var[:,i+1])  
        Fl = self.numflux(x, self.var[:,i-1], self.var[:,i])  
        self.flux[:,i] = (Fr-Fl)  
  
    x = self.mh.centers[self.mh.Nc-1]  
    Fr = self.numflux(x, self.var[:,self.mh.Nc-1], self.var_bcr)  
    Fl = self.numflux(x, self.var[:,self.mh.Nc-2], self.var[:,self.mh.Nc-1])  
  
    self.flux[:,self.mh.Nc-1] = (Fr-Fl)
```

## Julia

```
function (self::Model)() # generic_vf_op() is replaced by model()  
  
    x = self.mh.centers[1]  
    Fl = self.numflux(x, self.var_bcl, self.var_bcl, self.var[1,:])  
    Fr = self.numflux(x, self.var[1,:], self.var_bcl, self.var[2,:])  
  
    self.flux[1,:] = (Fr-Fl)  
  
    for i in 2:self.mh.Nc-1  
        x = self.mh.centers[i]  
        Fl = self.numflux(x, self.var[i,:], self.var[i-1,:])  
        Fr = self.numflux(x, self.var[i+1,:], self.var[i,:])  
        self.flux[i,:] = (Fr-Fl)  
    end  
  
    x = self.mh.centers[end]  
    Fl = self.numflux(x, self.var[end,:], self.var[end-1,:])  
    Fr = self.numflux(x, self.var_bcr, self.var[end,:])  
  
    self.flux[end,:] = (Fr-Fl)  
end
```

# Julia et la simulation numérique

## Comparaison Julia / Python

- Équation d'Euler :  $\partial_t \begin{pmatrix} \rho \\ \rho u \\ E \end{pmatrix} + \partial_x \begin{pmatrix} \rho u \\ \rho u^2 + p \\ Eu + pu \end{pmatrix} = 0$
- Discrétisation spatiale : Volumes Finis (ordre 1)
- Discrétisation temporelle : Euler explicite (CFL = 0.5)

## Python

```
while time < Tf:

    dt = cfl*Mh.h/euler.reduction(local_lax_dt,0.0)
    diags_time[0,n_iter] = time
    diags_time[1,n_iter] = dt

    if time+ dt> Tf:
        dt = Tf-time

    euler.bc_neumann()
    euler.explicit_ol(euler.generic_vf_op,dt)

    n_iter = n_iter +1
    time = time + dt
    if n_iter % ntp == 0:
        ref = euler.diagnostic(gamma,1,time,sod)
```

## Julia

```
while time < Tf

    push!(times,time)
    push!(timesteps,dt)
    dt = cfl*Mh.h/reduction(euler, compute_cfl, 0.0)

    if time + dt > Tf
        dt = Tf-time
    end

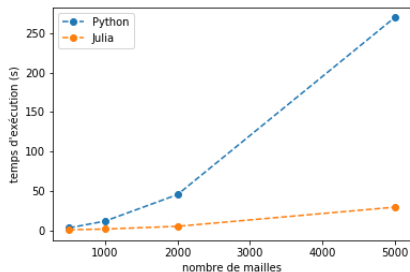
    bc_neumann(euler)
    vmax =explicit_ol(euler, dt, order)

    n_iter += 1
    time += dt
    if n_iter % ntp == 0
        ref = diagnostic_euler(euler, gamma, pinf, 1, time, init_data)
    end
end
```

# Julia et la simulation numérique

## Comparaison Julia / Python

- Équation d'Euler :  $\partial_t \begin{pmatrix} \rho \\ \rho u \\ E \end{pmatrix} + \partial_x \begin{pmatrix} \rho u \\ \rho u^2 + p \\ Eu + \rho u \end{pmatrix} = 0$
- Discrétisation spatiale : Volumes Finis (ordre 1)
- Discrétisation temporelle : Euler explicite (CFL = 0.5)



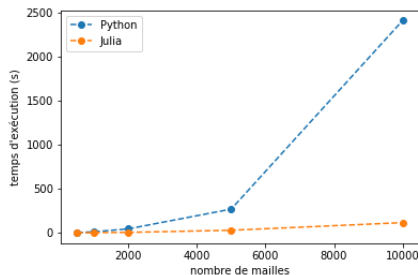
## Temps d'exécution (en secondes)

$nb_{mailles}$	Python	Julia
500	3	0.6
1000	11.63	1.5
2000	45.3	5
5000	270	29.3

# Julia et la simulation numérique

## Comparaison Julia / Python

- Équation d'Euler :  $\partial_t \begin{pmatrix} \rho \\ \rho u \\ E \end{pmatrix} + \partial_x \begin{pmatrix} \rho u \\ \rho u^2 + p \\ Eu + \rho u \end{pmatrix} = 0$
- Discrétisation spatiale : Volumes Finis (ordre 1)
- Discrétisation temporelle : Euler explicite (CFL = 0.5)



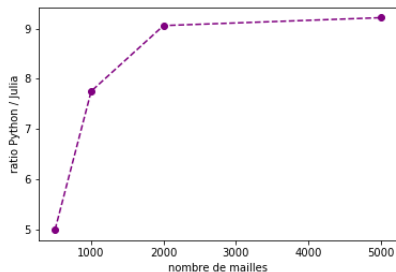
## Temps d'exécution (en secondes)

$nb_{mailles}$	Python	Julia
500	3	0.6
1000	11.63	1.5
2000	45.3	5.
5000	270	29.3
10000	2415	116

# Julia et la simulation numérique

## Comparaison Julia / Python

- Équation d'Euler :  $\partial_t \begin{pmatrix} \rho \\ \rho u \\ E \end{pmatrix} + \partial_x \begin{pmatrix} \rho u \\ \rho u^2 + p \\ Eu + \rho u \end{pmatrix} = 0$
- Discrétisation spatiale : Volumes Finis (ordre 1)
- Discrétisation temporelle : Euler explicite (CFL = 0.5)



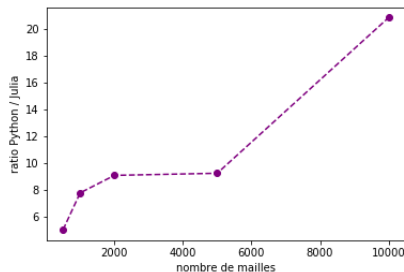
## Rapports entre les temps d'exécutions

$nb_{mailles}$	Python / Julia
500	5
1000	7.75
2000	9.06
5000	9.21

# Julia et la simulation numérique

## Comparaison Julia / Python

- Équation d'Euler :  $\partial_t \begin{pmatrix} \rho \\ \rho u \\ E \end{pmatrix} + \partial_x \begin{pmatrix} \rho u \\ \rho u^2 + p \\ Eu + \rho u \end{pmatrix} = 0$
- Discrétisation spatiale : Volumes Finis (ordre 1)
- Discrétisation temporelle : Euler explicite (CFL = 0.5)



## Rapports entre les temps d'exécutions

$nb_{mailles}$	Python / Julia
500	5
1000	7.75
2000	9.06
5000	9.21
10000	20.8

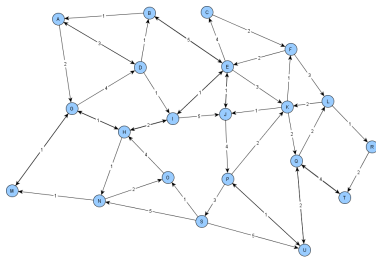
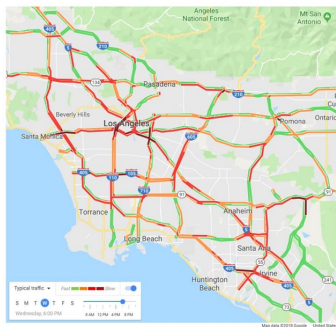
# Simulation et contrôle d'un modèle fluide de trafic routier

Comparaison Julia / Python

**Objectif principal :** outil d'aide à la décision dans un contexte de gestion de crise impliquant du trafic routier.

Travail en collaboration avec E.Franck, L.Navoret et Y.Privat.

- **Prédire** le trafic routier via un modèle fluide  
B. Piccoli M. Garavello. *Traffic flow on networks*. Ed. by Applied Mathematics. American Institute of Mathematical Sciences, 2006
- **Contrôler** la circulation par des barrages aux jonctions
- **Désencombrer** des voies d'évacuation / intervention



### Prédire

- Modèle LWR : 
$$\begin{cases} \partial_t \rho + \partial_x f(\rho) = 0, & t \in (0, T), x \in (0, L) \\ \rho(t=0, x) = \rho_0(x), & t \in (0, T) \end{cases}$$

### Prédire

- Modèle LWR : 
$$\begin{cases} \partial_t \rho + \partial_x f(\rho) = 0, & t \in (0, T), x \in (0, L) \\ \rho(t=0, x) = \rho_0(x), & t \in (0, T) \end{cases}$$
- Construction d'un graphe avec **une équation par arête** → **quid des jonctions ?**

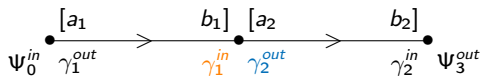
# Simulation et contrôle d'un modèle fluide de trafic routier

Modèle

## Prédire

- Modèle LWR : 
$$\begin{cases} \partial_t \rho + \partial_x f(\rho) = 0, & t \in (0, T), x \in (0, L) \\ \rho(t=0, x) = \rho_0(x), & t \in (0, T) \end{cases}$$
- Construction d'un graphe avec **une équation par arête** → **quid des jonctions ?**
- Couplage des arêtes par CL de type Neumann

$$\max_{\gamma^{\text{in}} \in \Omega_u} \sum_{i \in \text{ingoing}} \gamma_i^{\text{in}}$$



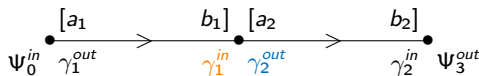
# Simulation et contrôle d'un modèle fluide de trafic routier

## Modèle

### Prédire

- Modèle LWR : 
$$\begin{cases} \partial_t \rho + \partial_x f(\rho) = 0, & t \in (0, T), x \in (0, L) \\ \rho(t=0, x) = \rho_0(x), & t \in (0, T) \end{cases}$$
- Construction d'un graphe avec **une équation par arête** → **quid des jonctions ?**
- Couplage des arêtes par CL de type Neumann

$$\max_{\gamma^{\text{in}} \in \Omega_u} \sum_{i \in \text{ingoing}} \gamma_i^{\text{in}}$$



- ▶  $\gamma_i^{\text{in}}(t) = f(\rho_i(t, b_i))$  : flux **entrant** à la jonction au temps  $t$ .

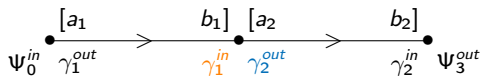
# Simulation et contrôle d'un modèle fluide de trafic routier

## Modèle

### Prédire

- Modèle LWR : 
$$\begin{cases} \partial_t \rho + \partial_x f(\rho) = 0, & t \in (0, T), x \in (0, L) \\ \rho(t=0, x) = \rho_0(x), & t \in (0, T) \end{cases}$$
- Construction d'un graphe avec **une équation par arête** → **quid des jonctions ?**
- Couplage des arêtes par CL de type Neumann

$$\max_{\gamma^{\text{in}} \in \Omega_u} \sum_{i \in \text{ingoing}} \gamma_i^{\text{in}}$$

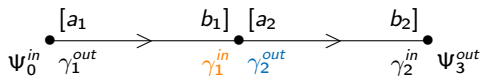


- ▶  $\gamma_i^{\text{in}}(t) = f(\rho_i(t, b_i))$  : flux **entrant** à la jonction au temps  $t$ .
- ▶  $\gamma_j^{\text{out}}(t) = f(\rho_j(t, a_j))$  : flux **sortant** de la jonction au temps  $t$ .

## Prédire

- Modèle LWR : 
$$\begin{cases} \partial_t \rho + \partial_x f(\rho) = 0, & t \in (0, T), x \in (0, L) \\ \rho(t=0, x) = \rho_0(x), & t \in (0, T) \end{cases}$$
- Construction d'un graphe avec **une équation par arête** → **quid des jonctions ?**
- Couplage des arêtes par CL de type Neumann

$$\max_{\gamma^{\text{in}} \in \Omega_u} \sum_{i \in \text{ingoing}} \gamma_i^{\text{in}}$$

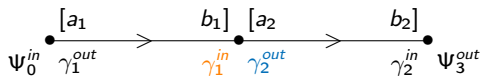


- ▶  $\gamma_i^{\text{in}}(t) = f(\rho_i(t, b_i))$  : flux **entrant** à la jonction au temps  $t$ .
- ▶  $\gamma_j^{\text{out}}(t) = f(\rho_j(t, a_j))$  : flux **sortant** de la jonction au temps  $t$ .
- ▶  $A = (\alpha_{ji})_{\substack{j \in \text{outgoing} \\ i \in \text{ingoing}}}$ , avec  $\alpha_{ji}$  le % de conducteurs faisant  $i \rightarrow j$  :  $\gamma^{\text{out}} = A\gamma^{\text{in}}$

### Prédire

- Modèle LWR : 
$$\begin{cases} \partial_t \rho + \partial_x f(\rho) = 0, & t \in (0, T), x \in (0, L) \\ \rho(t=0, x) = \rho_0(x), & t \in (0, T) \end{cases}$$
- Construction d'un graphe avec **une équation par arête** → **quid des jonctions ?**
- Couplage des arêtes par CL de type Neumann

$$\max_{\gamma^{\text{in}} \in \Omega_u} \sum_{i \in \text{ingoing}} \gamma_i^{\text{in}}$$



- ▶  $\gamma_i^{\text{in}}(t) = f(\rho_i(t, b_i))$  : flux **entrant** à la jonction au temps  $t$ .
- ▶  $\gamma_j^{\text{out}}(t) = f(\rho_j(t, a_j))$  : flux **sortant** de la jonction au temps  $t$ .

- ▶  $A = (\alpha_{ji})_{\substack{j \in \text{outgoing} \\ i \in \text{ingoing}}}$ , avec  $\alpha_{ji}$  le % de conducteurs faisant  $i \rightarrow j$  :  $\gamma^{\text{out}} = A\gamma^{\text{in}}$

- $u \in [0, 1]^N$  le **contrôle** : blockage total ou partiel des routes sortantes des jonctions.

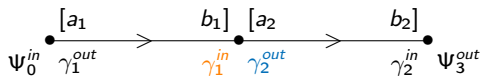
# Simulation et contrôle d'un modèle fluide de trafic routier

## Modèle

### Prédire

- Modèle LWR : 
$$\begin{cases} \partial_t \rho + \partial_x f(\rho) = 0, & t \in (0, T), x \in (0, L) \\ \rho(t=0, x) = \rho_0(x), & t \in (0, T) \end{cases}$$
- Construction d'un graphe avec **une équation par arête** → **quid des jonctions ?**
- Couplage des arêtes par CL de type Neumann

$$\max_{\gamma^{\text{in}} \in \Omega_u} \sum_{i \in \text{ingoing}} \gamma_i^{\text{in}}$$



- ▶  $\gamma_i^{\text{in}}(t) = f(\rho_i(t, b_i))$  : flux **entrant** à la jonction au temps  $t$ .
- ▶  $\gamma_j^{\text{out}}(t) = f(\rho_j(t, a_j))$  : flux **sortant** de la jonction au temps  $t$ .

- ▶  $A = (\alpha_{ji})_{\substack{j \in \text{outgoing} \\ i \in \text{ingoing}}}$ , avec  $\alpha_{ji}$  le % de conducteurs faisant  $i \rightarrow j$  :  $\gamma^{\text{out}} = A\gamma^{\text{in}}$

- $u \in [0, 1]^N$  le **contrôle** : blocage total ou partiel des routes sortantes des jonctions.
- $\Omega_u = \{\gamma^{\text{in}} \mid 0 \leq \gamma_i^{\text{in}} \leq \gamma_i^{\text{max}} \text{ et } 0 \leq \gamma_j^{\text{out}} \leq (1 - u_j)\gamma_j^{\text{max}}\}$

### Prédire

- Modèle LWR discrétisé par un schéma aux volumes finis :

$$\begin{cases} \frac{d\hat{\rho}}{dt} = f^{FV}(\hat{\rho}, \gamma), & t \in (0, T), \\ \gamma = \phi(\hat{\rho}, \mathbf{u}), & t \in (0, T), \\ (\hat{\rho}(t=0), \gamma(t=0)) = (\hat{\rho}_0, \gamma_0). \end{cases}$$

- ▶  $\hat{\rho} = \frac{1}{\Delta x} \int \rho(t, x) dx$  (*inconnue numérique*)
- ▶  $\phi(\hat{\rho}, \mathbf{u})$  donne la solution du problème d'optimisation aux jonctions

### Prédire

- Modèle LWR discrétisé par un schéma aux volumes finis :

$$\begin{cases} \frac{d\hat{\rho}}{dt} = f^{FV}(\hat{\rho}, \gamma), & t \in (0, T), \\ \gamma = \phi(\hat{\rho}, \mathbf{u}), & t \in (0, T), \\ (\hat{\rho}(t=0), \gamma(t=0)) = (\hat{\rho}_0, \gamma_0). \end{cases}$$

- ▶  $\hat{\rho} = \frac{1}{\Delta x} \int \rho(t, x) dx$  (*inconnue numérique*)
- ▶  $\phi(\hat{\rho}, \mathbf{u})$  donne la solution du problème d'optimisation aux jonctions

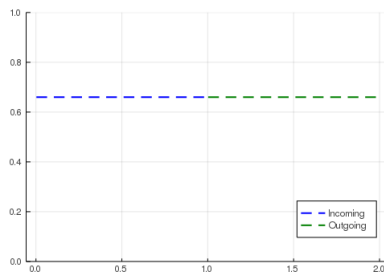


Figure: Une route large connectée à une route étroite

### Prédire

- Modèle LWR discrétisé par un schéma aux volumes finis :

$$\begin{cases} \frac{d\hat{\rho}}{dt} = f^{FV}(\hat{\rho}, \gamma), & t \in (0, T), \\ \gamma = \phi(\hat{\rho}, \mathbf{u}), & t \in (0, T), \\ (\hat{\rho}(t=0), \gamma(t=0)) = (\hat{\rho}_0, \gamma_0). \end{cases}$$

- ▶  $\hat{\rho} = \frac{1}{\Delta x} \int \rho(t, x) dx$  (*inconnue numérique*)
- ▶  $\phi(\hat{\rho}, \mathbf{u})$  donne la solution du problème d'optimisation aux jonctions

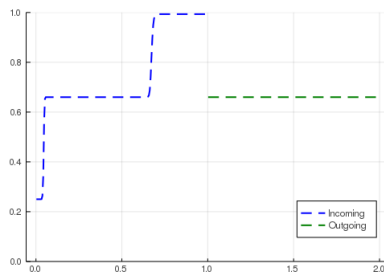


Figure: Création d'une congestion devant la jonction

### Prédire

- Modèle LWR discrétisé par un schéma aux volumes finis :

$$\begin{cases} \frac{d\hat{\rho}}{dt} = f^{FV}(\hat{\rho}, \gamma), & t \in (0, T), \\ \gamma = \phi(\hat{\rho}, \mathbf{u}), & t \in (0, T), \\ (\hat{\rho}(t=0), \gamma(t=0)) = (\hat{\rho}_0, \gamma_0). \end{cases}$$

- ▶  $\hat{\rho} = \frac{1}{\Delta x} \int \rho(t, x) dx$  (*inconnue numérique*)
- ▶  $\phi(\hat{\rho}, \mathbf{u})$  donne la solution du problème d'optimisation aux jonctions

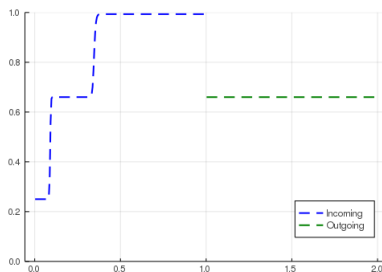


Figure: Propagation d'une onde de choc

### Prédire

- Modèle LWR discrétisé par un schéma aux volumes finis :

$$\begin{cases} \frac{d\hat{\rho}}{dt} = f^{\text{FV}}(\hat{\rho}, \gamma), & t \in (0, T), \\ \gamma = \phi(\hat{\rho}, \mathbf{u}), & t \in (0, T), \\ (\hat{\rho}(t=0), \gamma(t=0)) = (\hat{\rho}_0, \gamma_0). \end{cases}$$

- ▶  $\hat{\rho} = \frac{1}{\Delta x} \int \rho(t, x) dx$  (*inconnue numérique*)
- ▶  $\phi(\hat{\rho}, \mathbf{u})$  donne la solution du problème d'optimisation aux jonctions

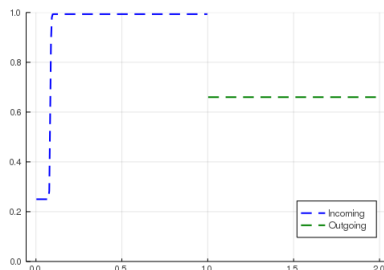


Figure: Propagation d'une onde de choc

# Simulation et contrôle d'un modèle fluide de trafic routier

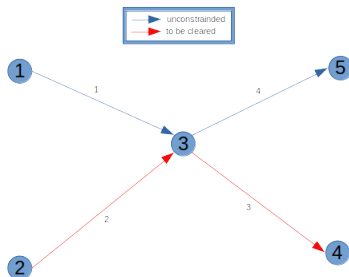
## Problème de contrôle

### Contrôler

- Critère : on veut minimiser la densité en temps final le long d'un chemin particulier

$$J(\mathbf{u}) = \sum_{k \in \text{chemin}} \hat{\rho}_k(T; u_k)$$

- Contrôle : valeurs admissibles pour les CL  $\rightarrow$  dépendance indirecte vis-à-vis de  $\rho$ 
  - ▶ Méthode adjointe (problème dual) double le coût du calcul
  - ▶ Descente de gradient : différentiation automatique



# Simulation et contrôle d'un modèle fluide de trafic routier

## Problème de contrôle

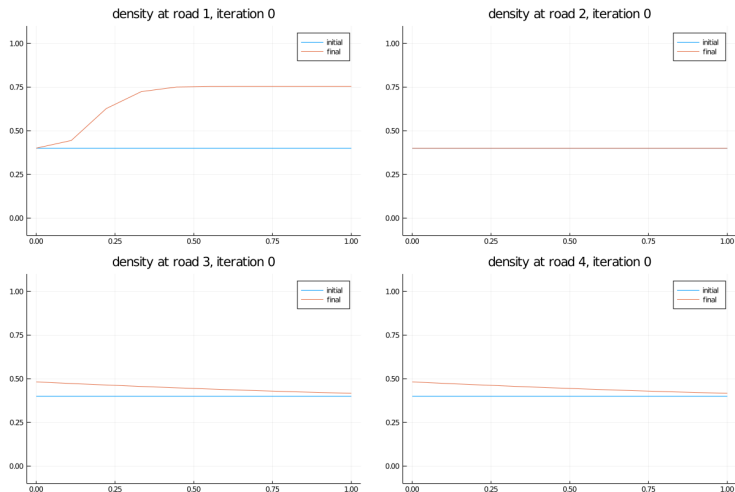


Figure: Without control :  $\min(J) = 8.46$

# Simulation et contrôle d'un modèle fluide de trafic routier

## Problème de contrôle

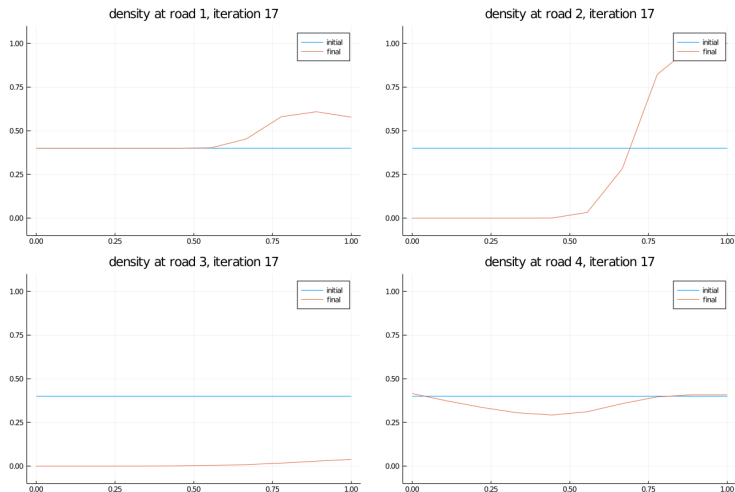


Figure: With control :  $\min(J) = 3.22$

Pour 10 mailles par route :  $\sim 4.5 \times T$  secondes / itération

# Conclusion

## Avantages

- Facile à prendre en main (syntaxe proche Python/Matlab)
- Performances (langage compilé)
- Souple (compilation à la volée → REPL)
- Communauté active (forums, congrès, ...)

# Conclusion

## Avantages

- Facile à prendre en main (syntaxe proche Python/Matlab)
- Performances (langage compilé)
- Souple (compilation à la volée → REPL)
- Communauté active (forums, congrès, ...)

## Inconvénients

- Langage encore récent → communauté moins grande que C/C++/Python/...
- Perte drastique de simplicité si debug technique → besoin d'ingés au labo

# Conclusion

## Avantages

- Facile à prendre en main (syntaxe proche Python/Matlab)
- Performances (langage compilé)
- Souple (compilation à la volée → REPL)
- Communauté active (forums, congrès, ...)

## Inconvénients

- Langage encore récent → communauté moins grande que C/C++/Python/...
- Perte drastique de simplicité si debug technique → besoin d'ingés au labo

---

Merci pour votre attention !

---